## —— ХИМИЧЕСКАЯ ФИЗИКА НАНОМАТЕРИАЛОВ ——

УЛК 543.27

# ВЛИЯНИЕ ТИПА КРИСТАЛЛИЧЕСКОЙ ФАЗЫ $In_2O_3$ НА ЕГО ПРОВОДИМОСТЬ И СЕНСОРНЫЕ СВОЙСТВА ПРИ ДЕТЕКТИРОВАНИИ ВОДОРОДА

© 2023 г. М. И. Иким<sup>1\*</sup>, Е. Ю. Спиридонова<sup>1</sup>, В. Ф. Громов<sup>1</sup>, Г. Н. Герасимов<sup>1</sup>, Л. И. Трахтенберг<sup>1, 2</sup>

<sup>1</sup>Федеральный исследовательский центр химической физики им. Н.Н. Семёнова Российской академии наук, Москва, Россия

<sup>2</sup>Московский государственный университет им. М.В. Ломоносова, Москва, Россия

\*E-mail: ikimmary 1104@gmail.com
Поступила в редакцию 09.12.2022;
после доработки 14.12.2022;
принята в печать 20.12.2022

Оксид индия синтезирован гидротермальным способом из водного или спиртового раствора нитрата индия. Исследованы фазовый состав, структура синтезированных образцов, а также их проводимость и сенсорный отклик при детектировании водорода. Изменение условий проведения гидротермального синтеза приводит к тому, что наряду с основной кубической фазой оксида индия происходит образование метастабильной ромбоэдрической фазы. Показано, что увеличение концентрации ромбоэдрической фазы в оксиде индия приводит к увеличению его проводимости и максимальной сенсорной чувствительности к водороду.

*Ключевые слова:* оксид индия, гидротермальный метод, кубическая и ромбоэдрическая фазы, наночастица, проводимость, сенсорный отклик, водород.

DOI: 10.31857/S0207401X23050035, EDN: GCDPDI

### 1. ВВЕДЕНИЕ

Для детектирования в атмосфере различных взрывоопасных и токсичных газов в настоящее время наиболее распространены кондуктометрические сенсоры, в которых в качестве чувствительного слоя используют полупроводниковые оксиды металлов, такие как SnO<sub>2</sub>, ZnO, WO<sub>3</sub>, In<sub>2</sub>O<sub>3</sub> и др. [1–3]. Для улучшения эксплуатационных свойств таких сенсоров в настоящее время используют такие способы, как изменение морфологии и размера частиц, входящих в состав чувствительного слоя, создание гетеропереходов и легирование ионами металлов [2]. Одним из эффективных способов оптимизации сенсорных свойств может быть регулирование фазового состава.

Наиболее подходящим оксидом для сенсоров кондуктометрического типа является оксид индия из-за наличия большого количества свободных электронов в зоне проводимости, а также кислородных вакансий и активных форм хемосорбированного кислорода [4]. Кроме того,  $In_2O_3$  имеет две кристаллические фазы — кубический биксбиит (c- $In_2O_3$ ) и ромбоэдрический корунд (rh- $In_2O_3$ ), физико-химические свойства которых

различаются, что может повлиять на сенсорные характеристики.

Однако до настоящего времени связь между характеристиками кристаллических фаз чувствительных материалов и их проводящими и сенсорными свойствами остается малоисследованной. В данной работе методом гидротермального синтеза [5, 6] были получены оксиды индия, содержащие либо только кубическую фазу, либо смесь фаз. Проведено сравнение структуры, проводимости и сенсорных свойств при детектировании водорода таких систем, которое позволило определить влияние вида кристаллической фазы оксида индия на соответствующие свойства.

# 2. ЭКСПЕРИМЕНТАЛЬНАЯ ЧАСТЬ

Оксид индия получали методом гидротермального синтеза и в качестве прекурсора использовали нитрат индия  $In(NO_3)_3 \cdot 5H_2O$ . В процессе синтеза нитрат индия и мочевину растворяли в дистилированной воде или этиловом спирте. Далее раствор переносили в автоклав объемом 25 мл и выдерживали при температуре 160 °C в течение 5 или 10 ч для проведения гидротермальной реакции. Степень заполнения автоклава составляла

50% или 80%. После естественного охлаждения автоклава до комнатной температуры образовавшийся осадок собирали путем центрифугирования, несколько раз промывали водой и затем сушили при  $100~^{\circ}$ С. Затем полученный продукт отжигали при  $500~^{\circ}$ С в течение  $2~^{\circ}$ ч.

Структурные характеристики оксидов индия определяли методами рентгеновской дифракции (XRD), просвечивающей электронной микроскопии (ТЕМ) и энергодисперсионной рентгеновской спектроскопии (EDX). Спектры XRD записывали с помощью рентгеновского дифрактометра Smartlab SE производства компании Rigaku (Japan) с использованием  $Cu(K_{\alpha})$ -излучения с длиной волны 1.5406 Å. Средний размер наночастиц рассчитывали из данных XRD по формуле Дебая—Шеррера:  $D = 0.9\lambda/(\beta \cos \theta)$ , где  $\lambda$  — длина волны рентгеновского излучения,  $\beta$  — полуширина пика,  $\theta$  — дифракционный угол, соответствующий данному пику. Морфологию частиц и распределение ионов металлов определяли методами ТЕМ и EDX с использованием просвечивающего электронного микроскопа Tecnai Osiris производства компании FEI (USA), снабженном системой энергодисперсионного анализа.

Для определения проводимости и сенсорных свойств синтезированные оксиды индия смешивали с дистиллированной водой. Полученную пасту наносили на поликоровые пластины, снабженные платиновым нагревателем и контактами для снятия сопротивления. Далее постепенно поднимали температуру до 550°C до достижения постоянного сопротивления полученной пленки. Проводимость и сенсорный отклик синтезированных образцов при детектировании 0.9% Н<sub>2</sub> измеряли на специальной установке в диапазоне температур от 300 до 550°C. Сенсорный отклик определяли как отношение  $R_0/R_{\rm g}$ , где  $R_0$  — начальное сопротивление сенсорной пленки (до введения анализируемой смеси),  $R_{\rm g}$  – минимальное значение сопротивления пленки, достигаемое после введения анализируемого газа.

# 3. РЕЗУЛЬТАТЫ И ИХ ОБСУЖДЕНИЕ

На спектрах XRD оксида индия, синтезированного из растворенного в воде нитрата индия, регистрируются пики только от кубической фазы  $In_2O_3$ . В то же время в спектре оксида индия, синтезированного из растворенного в спирте прекурсора, наблюдаются как пики от основной кубической фазы с- $In_2O_3$ , так и от метастабильной ромбоэдрической фазы rh- $In_2O_3$ . Оксид индия, полученный из спиртового раствора  $In(NO_3)_3$  без проведения гидротермальной обработки, не содержит фазы rh- $In_2O_3$ . Степень заполнения автоклава для гидротермального синтеза также влияет на содержание в образцах метастабильной фазы оксида индия.

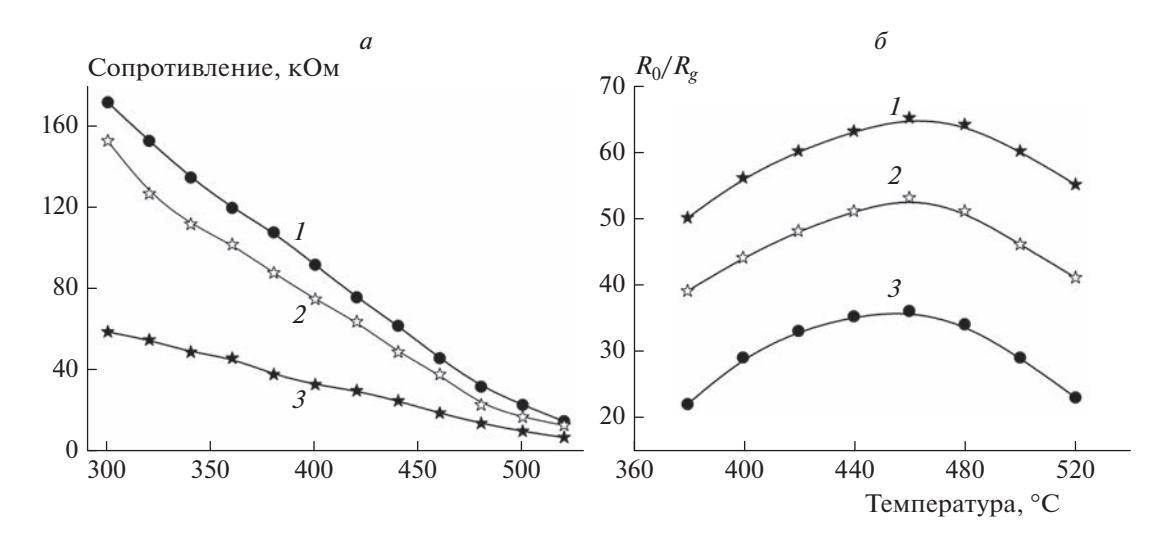
Так, при 50%-ном заполнении реактора преобладает кубическая фаза (60 вес.%), а при 80%-ном заполнении — ромбоэдрическая (65 вес.%).

Кроме того, был исследован фазовый состав высущенных осадков, полученных в результате гидротерамльной реакции без последующего отжига, который и приводил к окончательному формированию оксида индия. Оказалось, что в спектрах XRD промежуточных продуктов, получаемых в процессе синтеза оксида индия из растворенного в воде нитрата индия, регистрируются пики от кубической фазы In(OH)<sub>3</sub>, а в предшественниках из спиртового раствора наряду с пиками от гидроксида индия присутствуют пики от окиси гидроксида индия InOOH. Последняя получается путем дегидратации In(OH), и образуется при гидролизе ионов In<sup>3+</sup> на ранней стадии гидротермального процесса. Согласно изложенному в работе [7], именно разложение In(OH)<sub>3</sub> приводит к формированию с-In<sub>2</sub>O<sub>3</sub>, в то время как rh-In<sub>2</sub>O<sub>3</sub> образуется при разложении InOOH.

Сообщалось, что время, необходимое для превращения In(OH)<sub>3</sub> в InOOH, превышает 8 ч [8]. Олнако в ланной работе более ллительное гилротермальное воздействие в течение 10 ч не приводило к увеличению концетрации фазы rh-In<sub>2</sub>O<sub>3</sub>. То есть образованию оксигидроксида индия в результате гидротермальной реакции и формированию ромбоэдрической In<sub>2</sub>O<sub>3</sub>-фазы способствует более высокое давление, создаваемое в автоклаве. Размер частиц кубического оксида индия, синтезированного из растворенного в воде нитрат индия, составляет 17 нм. А размер частиц смешанной фазы оксида индия составляет 22 нм для rh-In<sub>2</sub>O<sub>3</sub> и 44 нм для с-In<sub>2</sub>O<sub>3</sub>. При этом изменении давления и длительности гидротермального синтеза размер частиц не меняется.

Согласно ТЕМ-измерениям оксид индия, синтезированный из водного раствора нитрата индия, представляет собой агломераты наночастиц практически сферической формы размером около 20 нм с регулярными мезопорами. В свою очередь, оксид индия, представляющий собой смесь фаз, состоит из крупных и мелких наночастиц с некоторой агломерацией. При этом высокоразрешающий ТЕМ-метод показал, что межплоскостные расстояния крупных и мелких частиц составляют соответственно 0.29 и 0.28 нм, что отвечает плоскости (222) кубического и плоскости (104) ромбоэдрического In<sub>2</sub>O<sub>3</sub>. Эти результаты по размерам частиц находятся в согласии с рентгеновскими данными.

Измерения проводимости сенсорных плеенок на воздухе проводили в интервале температур от 300 до 520°С. На рис. 1*а* представлена температурная зависимость сопротивления пленок оксида индия, содержащих разные количества ромбо-



**Рис. 1.** a — Температурная зависимость сопротивления пленок на воздухе: 1 — с- $\ln_2\mathrm{O}_3$ , 2 — 40% rh- $\ln_2\mathrm{O}_3$  + 60% c- $\ln_2\mathrm{O}_3$ , 3 — 65% rh- $\ln_2\mathrm{O}_3$  + 35% c- $\ln_2\mathrm{O}_3$ ;  $\delta$  — температурная зависимость сенсорного отклика пленок ( $R_0/R_g$ ) при детектировании 0.9%  $\mathrm{H_2}$ : 1 — 65% rh- $\ln_2\mathrm{O}_3$  + 35% c- $\ln_2\mathrm{O}_3$ , 2 — 40% rh- $\ln_2\mathrm{O}_3$  + 60% c- $\ln_2\mathrm{O}_3$ , 3 — c- $\ln_2\mathrm{O}_3$ .

эдрической фазы, на воздухе. Характер изменения проводимости от температуры одинаков для всех образцов. В указанном температурном интервале проводимость всех синтезированных систем растет с повышением температуры, что характерно для n-типа полупроводников. Повышение температуры приводит к увеличению проводимости в 8-12 раз.

Следует отметить, что проводимость образцов, содержащих смесь фаз, выше, чем у образца, содержащего только кубическую фазу. При этом, чем больше содержание ромбоэдрической фазы, тем выше проводимость системы. Скорее всего, это связано с несколькими факторами. Согласно данным методов XRD и TEM размер частиц оксида индия, содержащих только кубическую фазу, меньше, чем у образцов, содержащих смесь фаз rh-In<sub>2</sub>O<sub>3</sub> и c-In<sub>2</sub>O<sub>3</sub>. Структурные характеристики систем, а именно размер частиц, влияют как на проводимость, так и на сенсорные свойства [2, 9]. Кроме того, образование наряду с кубической фазой оксида индия ромбоэдрической фазы с другими электрофизическими характеристиками также влияет на проводимость.

Характер проводимости в оксидных пленках определяет особенности сенсорных эффектов при детектировании восстановительных газов. Температурные зависимости сенсорного отклика при детектировании  $0.9\%~H_2$  имеют максимум (см. рис. 16). Рабочая температура оказывает заметное влияние на кинетику химических реакций и концентрацию молекул кислорода на поверхности. Наличие максимума обусловлено конкуренцией двух процессов — реакции анализируемого газа с кислородными центрами на поверхности

сенсора и десорбции газа с поверхности. Изменение фазового состава оксида индия не влияет на оптимальную рабочую температура, которая составляет 460°С. При этом максимальная сенсорная чувствительность к водороду кубической фазы оксида индия меньше в 1.5—2 раза, чем у оксидов, содержащих смесь фаз (см. рис. 16). Увеличение содержания в образце ромбоэдрической фазы приводит к увеличению чувствительности к водороду.

Согласно принятой в настоящее время модели сенсорного процесса при детектировании водорода, сенсорный эффект определяется двумя процессами: адсорбцией водорода и кислорода на поверхности частиц металлоксидного сенсора и реакцией адсорбированных соединений с активными кислородными центрами на этой поверхности. В связи с этим есть несколько причин увеличения отклика оксида индия, содержащего две фазы. Во-первых, реализуется n-n-гетеропереход между кубической и ромбоэдрической фазами, причем здесь ромбоэдрическая фаза выступает в роли каталитически активного компонента. Согласно расчетам поверхность (104), являющаяся одной из основной для фазы rh-In<sub>2</sub>O<sub>3</sub>, считается благоприятной для адсорбции газа, что способствует увеличению сенсорного эффекта [10]. В то же время данные, полученные по структуре рассматриваемых систем, показали, что размер частиц кубический фазы оксида индия в несколько раз больше, чем ромбоэдрической. Уменьшение размера частиц каталитически активного компонента приводит к увеличению чувствительности сенсоров на основе оксида индия при детектировании водорода [11]. Во-вторых, росту сенсорной чувствительности к водороду также способствует меньшее сопротивление систем, содержащих ромбоэдрическую фазу.

### 4. ЗАКЛЮЧЕНИЕ

Исследованы структура, проводимость и сенсорные свойства оксида индия, синтезированного гидротермальным методом из водного и спиртового раствора нитрата индия с последующей термической обработкой. Показано, что используя спиртовой раствор прекурсора для образования оксида индия, можно получить смесь кристаллических фаз — кубический биксбиит (c- $\ln_2 O_3$ ) и ромбоэдрический корунд (rh- $In_2O_3$ ). При этом, изменяя давление гидротермального процесса, можно варьировать содержание rh-In<sub>2</sub>O<sub>3</sub>. С помощью методов XRD и TEM установлено, что размер частиц кубической фазы в 2 раза больше, чем ромбоэдрической, а у образца, содержащего только фазу с-Іп<sub>2</sub>О<sub>2</sub> размер частиц был самым маленьким. Увеличение в образце содержания Rh-In<sub>2</sub>O<sub>3</sub> приводит к росту проводимости и сенсорной чувствительности к водороду. Таким образом, регулирование содержания кристаллических фаз может быть одним из способов повышения эффективности сенсорных систем.

Исследование выполнено за счет гранта Российского научного фонда № 22-79-00010; https://rscf.ru/project/22-79-00010/.

### СПИСОК ЛИТЕРАТУРЫ

- Krishna K.G., Parne S., Pothukanuri N. et al. // Sens. Actuators A. 2022. V. 341. P. 113578.
- 2. Герасимов Г.Н., Громов В.Ф., Иким М.И., Трахтенберг Л.И. // Хим. физика. 2021. Т. 40. № 11. С. 65.
- 3. Gerasimov G.N., Gromov V.F., Ilegbusi O.J., Trakhtenberg L.I. // Sens. Actuators, B. 2017. V. 240. P. 613.
- 4. *Курмангалеев К.С., Кожушнер М.А., Трахтен-берг Л.И.* // Хим. физика. 2020. Т. 39. № 11. С. 89.
- Иким М.И., Спиридонова Е.Ю., Громов В.Ф., Герасимов Г.Н., Трахтенберг Л.И. // Хим. физика. 2022. Т. 41. № 12. С. 79.
- 6. Иким М.И., Спиридонова Е.Ю., Громов В.Ф., Герасимов Г.Н., Трахтенберг Л.И. // Хим. физика. 2023. Т. 42. № . С.
- 7. *Sui N., Cao S., Zhang P., Zhou T., Zhang T.* // J. Hazard. Mater. 2021. V. 418. P. 126290.
- Song P.-Y., Zhang W.-D. // Mater. Res. Bulletin. 2014. V. 53. P. 177.
- 9. Громов В.Ф., Иким М.И., Герасимов Г.Н., Трахтенберг Л.И. // Хим. физика. 2021. Т. 40. № 12. С. 76.
- Song L., Dou K., Wang R. et al. //ACS Appl. Mater. Interfaces. 2020. V. 12. P. 1270.
- Gerasimov G.N., Ikim M.I., Gromov V.F., Ilegbusi O.J., Trakhtenberg L.I. // J. Alloys Compd. 2021. V. 883. P. 160817.